## 人工磁気圏における制御環境下での コーラス放射の実験室研究

東大新領域<sup>A</sup>,核融合研<sup>B</sup> 齋藤晴彦<sup>A,B</sup>,三村洸生<sup>A</sup>,青柳進之介<sup>A</sup>,城越望<sup>A</sup>,上田研二<sup>B</sup>,西浦正樹<sup>B,A</sup>, 釼持尚輝<sup>B</sup>,佐藤直木<sup>B</sup>,吉田善章<sup>B</sup>

- ・研究背景: 磁気浮上ダイポールによるプラズマ研究の進展 先行研究とRT実験の概要(揺動現象と電子・陽電子プラズマ計画の現状)
- RT-1におけるホイッスラーモード・コーラス放射実験
  - 高温電子高βプラズマの生成と発生条件
  - コーラス放射の発生領域
  - 磁力線の曲率変化が揺動に与える効果の初期結果
- ・まとめと今後の課題





#### 研究背景: 磁気浮上ダイポールによるプラズマ研究の進展

- 大域的に磁気圏と等価,外部磁場のみで超高β(>100%)の安定生成(>秒)
- 良好な閉じ込め(純電子プラズマを300秒以上)は反物質プラズマに適用可能

#### 高速流を持つ高βプラズマ



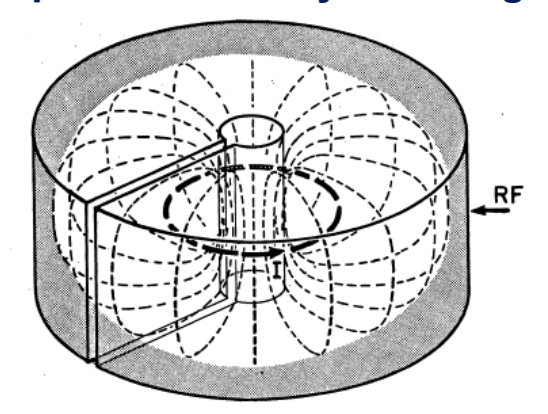
自然に学び、先進核融合へ

• 超伝導コイル磁気浮上



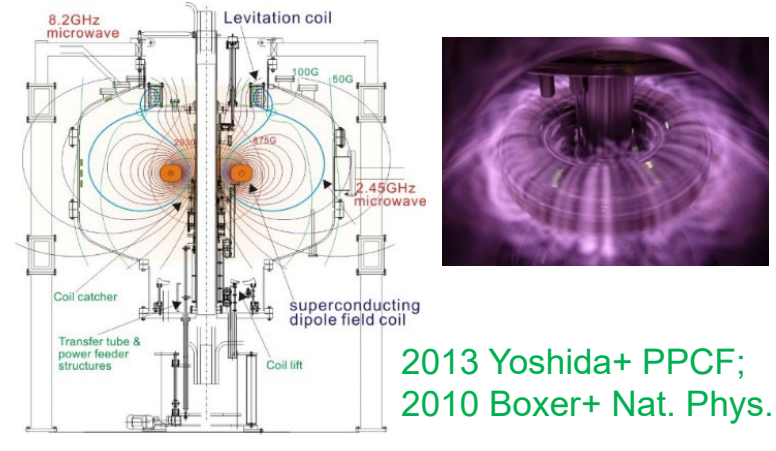
2013, 2016 Ogawa, Yanagi+ 低温工学

"Dipole Fusion" by A. Hasegawa



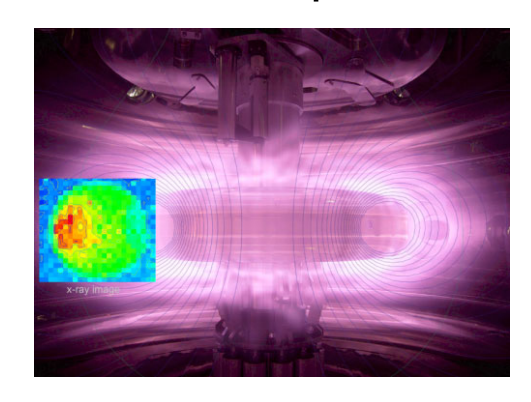
1987 Hasegawa CPPCF 内向き拡散・加熱: D-D or D-<sup>3</sup>He

東大RT-1, MIT/Columia LDX



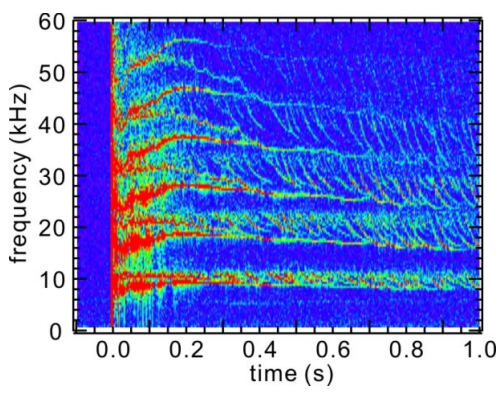
2002 Yoshida & Mahajan PRL

高温電子の高β状態(>100%)



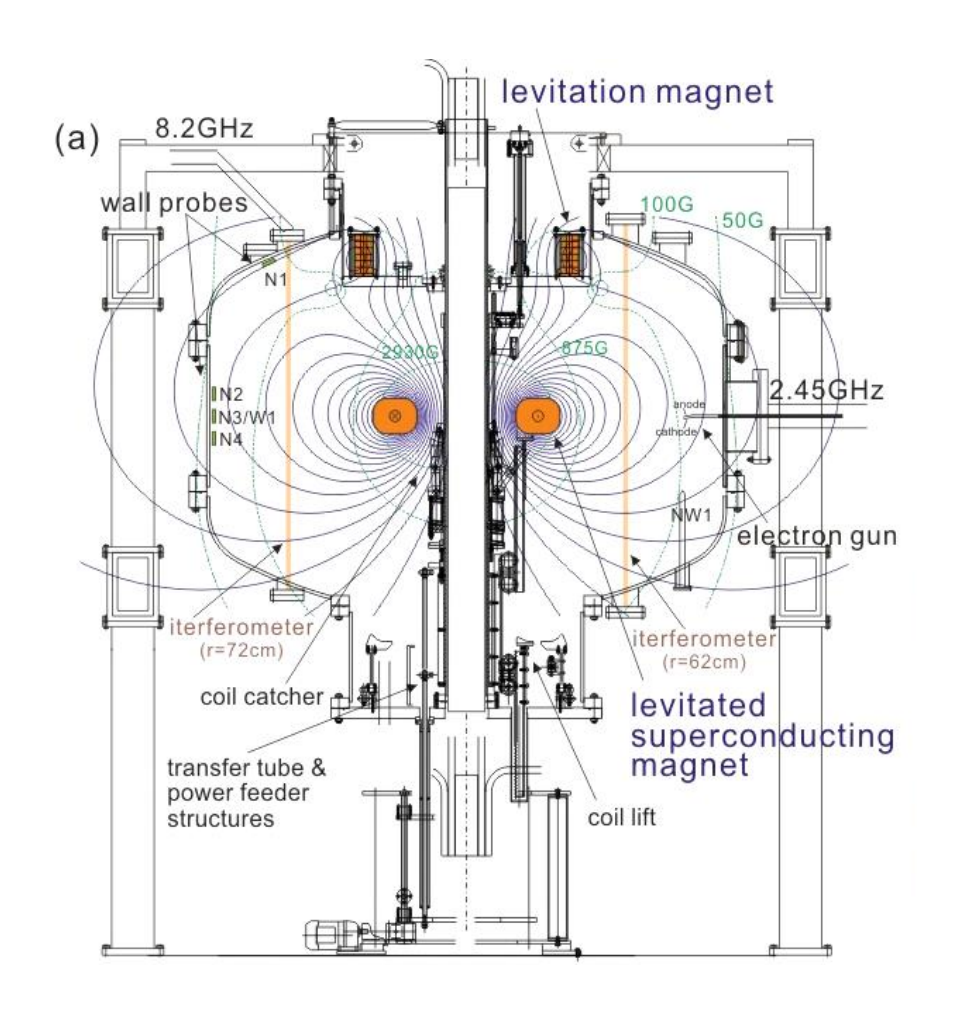
2015 Nishiura+ Nuclear Fusion 2022 Kenmochi+ Nuclear Fusion

• 波動粒子相互作用



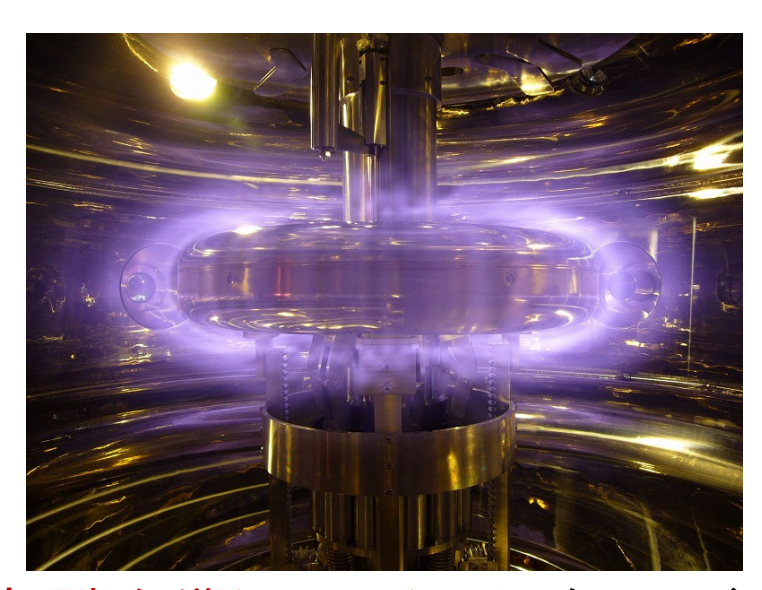
2010 Yoshida+ Phys. Rev. Lett.

#### 高温超伝導ダイポール磁場配位RT-1による「人工磁気圏」

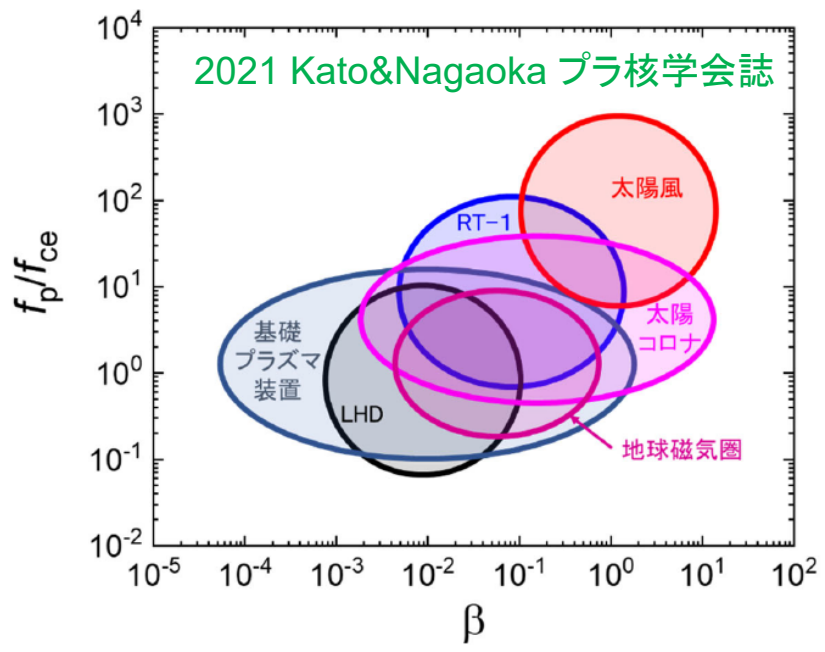


Hot-electron high-beta plasma formation

- 高温電子高βプラズマ(局所β~100%, ~秒)
- 先進核融合, 揺動による自己組織化, 反物質プラズマ

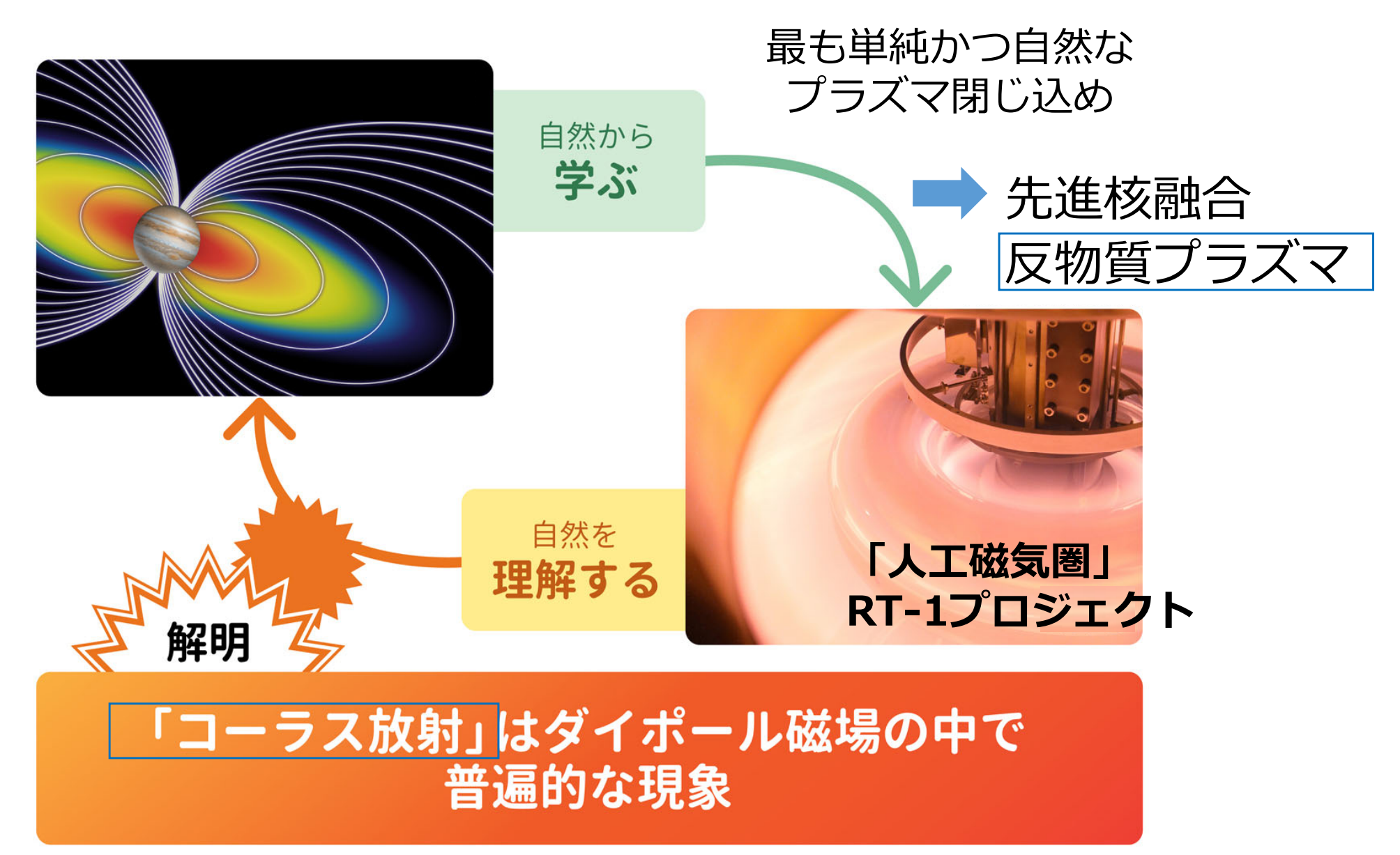


• 高温超伝導(Bi-2223)コイルをフィードバック 制御により磁気浮上,約6時間の無冷却運転



2006 Yoshida+ PFR; 2019 Nishiura+ Nucl. Fusion; 2022 Kenmochi+ Nucl. Fusion

#### 「自然(惑星磁気圏)に学び、先進核融合と反物質プラズマへ」 を目指すRT-1による実験室宇宙プラズマ研究



再現性と制御性に優れた実験室環境で コーラス放射の性質を解明へ

#### 磁気浮上ダイポールとパルス陽電子源による電子・陽電子プラズマ計画

● 電子・陽電子系のペアプラズマ計画



5Tトラップ製作

1010-11 e+

~10usで







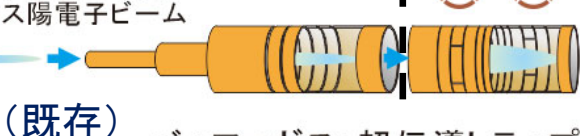
2022-科研費基盤S



パルス陽電子入射

107 e+/s. 10eV

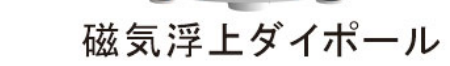
リニアックベース



バッファガス+超伝導トラップ <sup>入射</sup>

陽電子の前段蓄積

高速パルス引き出し



冷却試験・装置製作

>10<sup>10</sup> e+ 10<sup>11-12</sup> m<sup>-3</sup>

反物質ペア プラズマ生成

物性解明:

分散関係, 安定性, Ps生成, etc.

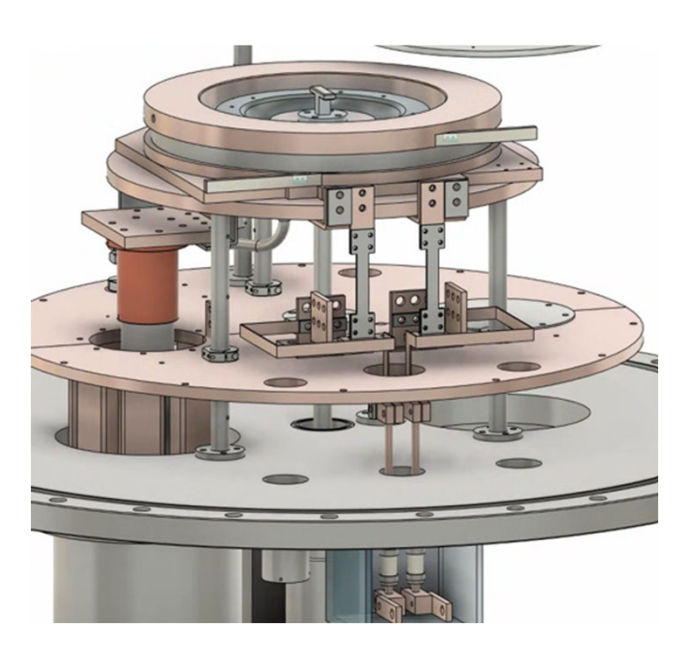
2020 Higaki Michichio+ Appl. Phys. Exp.

産総研・リニアックベース陽電子源

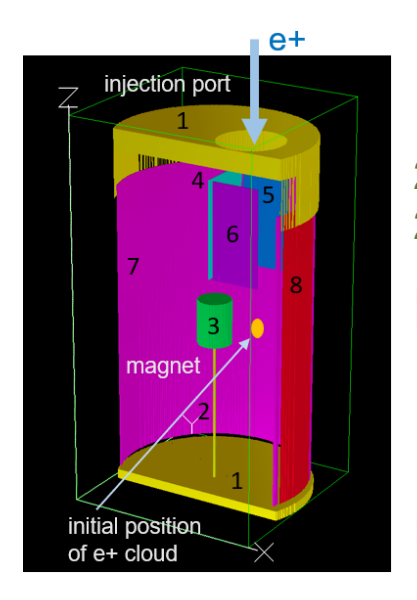
低エネルギー陽電子と電子の磁場閉じ込め実験の開発研究を進めている



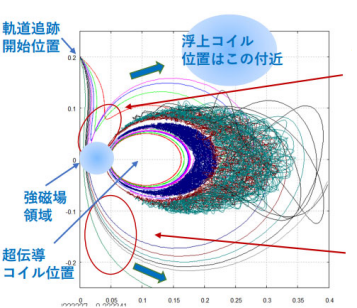
5Tマグネットによるトラップ



小型磁気浮上ダイポール



2015 Saitoh+ NJP 2024 Deller+ PRE



陽電子の高効率入射と、電子との 同時閉じ込めの実証. 入射最適化

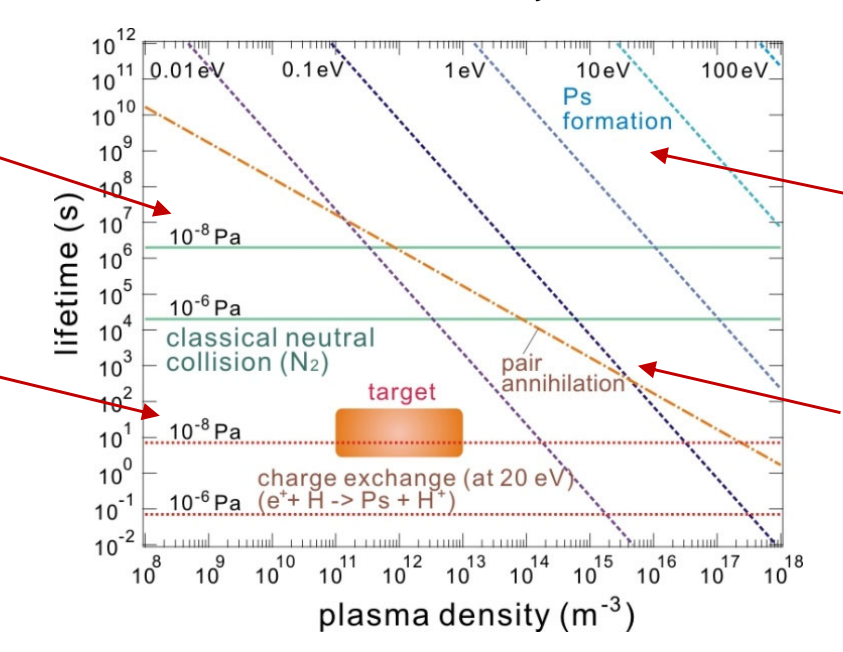
#### 電子・陽電子プラズマの目標パラメータと実現性

• 目標値: n<sub>e+/e-</sub> >~10<sup>11-12</sup> m<sup>-3</sup>, T<sub>e</sub>~1eV

デバイ長  $\lambda_D$ ~2cm < 装置サイズ を満たし、 プラズマとしての集団現象が発現する

中性粒子との衝突に よる古典拡散時間は 超高真空環境では 十分に長い

水素原子との荷電交換 へ 反応は、断面積がピーク を持つ20eV付近を避けて 回避が可能である



ポジトロニウム(Ps)生成 極端な低温(<10meV)状態 を除き問題にならない

電子陽電子対消滅: 対象とする低密度領域では 比較的小さい

様々な密度の陽電子または電子・陽電子群のlife timeを決定する機構

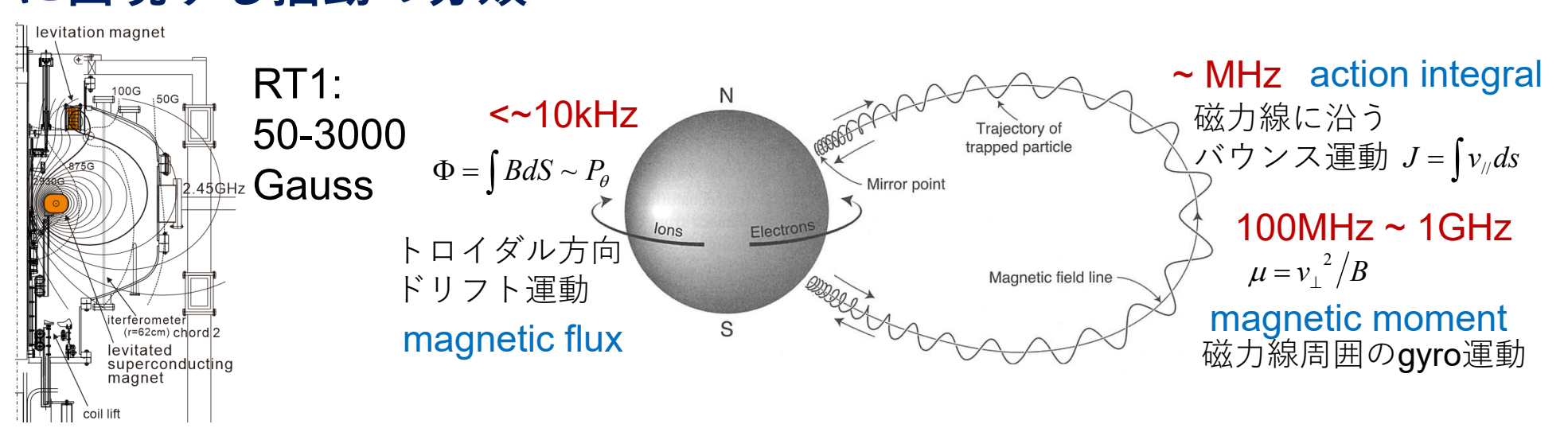
荷電交換反応, ポジトロニウム生成, 対消滅による制約を超えて, 研究対象となる時間スケール(< ms)以上の時間, 電子・陽電子プラズマを保持可能

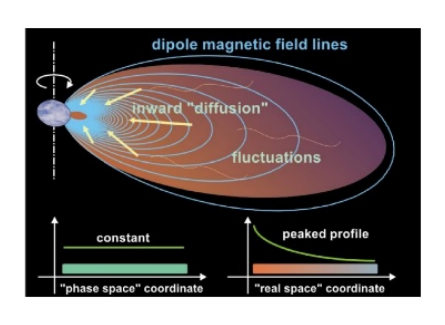
- ◆ 目標パラメータは、BGT+HFTによる陽電子蓄積とパルス入射で実現を目指す
- 閉じ込め体積 V~10L に対して, 最低でも N~109 個
- ・定常入射では、これは実現困難: N = ατΓ
- 10<sup>9</sup> 個(目標)の陽電子を蓄積->~10usで引き出し パルス入射を行い,入射期と閉じ込め期を分離
- α: 入射効率
- τ: 閉じ込め時間 (s)

Γ: ビーム強度 (/s) ~ 10<sup>7-9</sup> @NEPOMUC ~ 10<sup>7</sup> @AIST ~

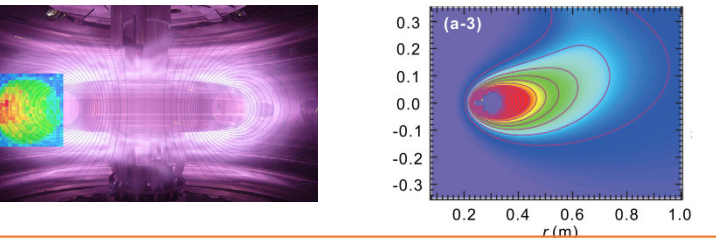
定常ではα=100%, 1~100s入射が必要

#### RT-1の粒子周期運動の時間スケールと、異なる周波数帯域 に出現する揺動の分類

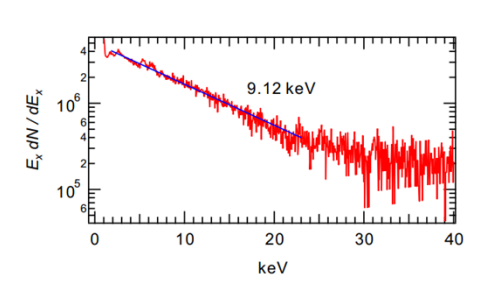




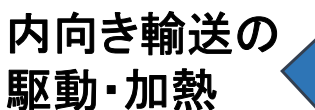
## 構造形成・位相空間における再構成



加速 輸送

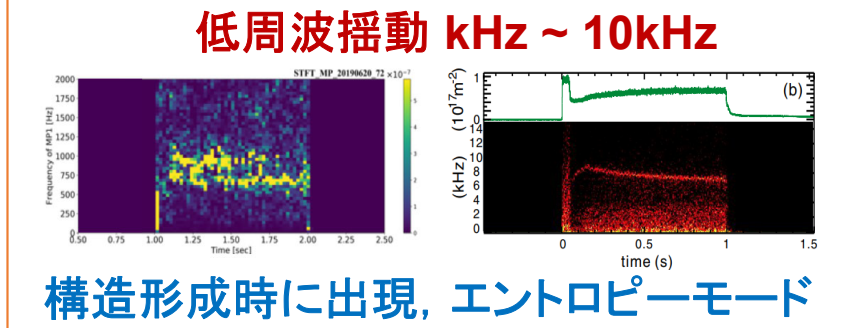


位相空間分布と 関わる揺動駆動

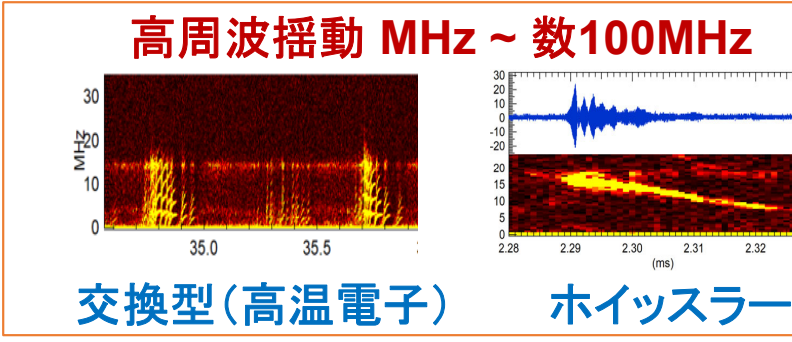




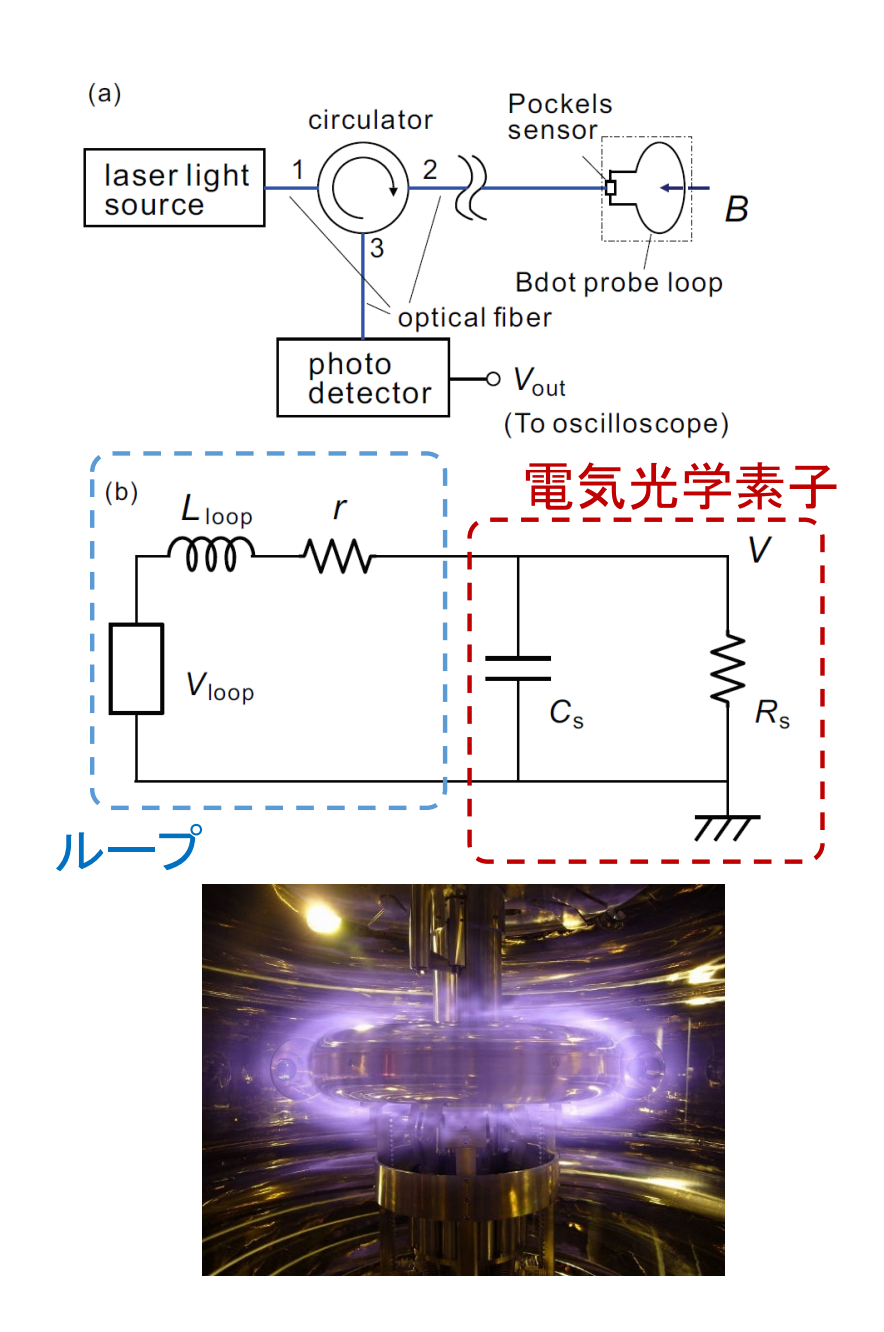
摇動

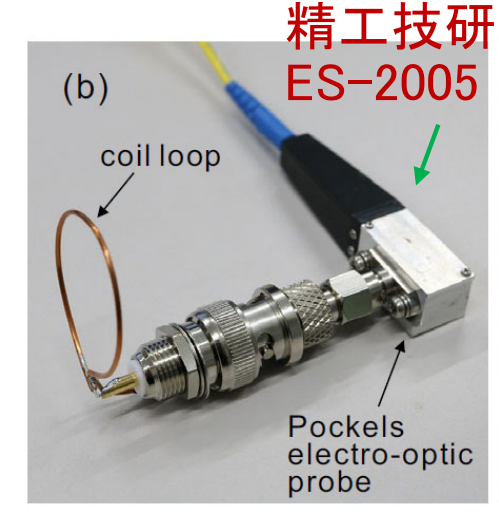


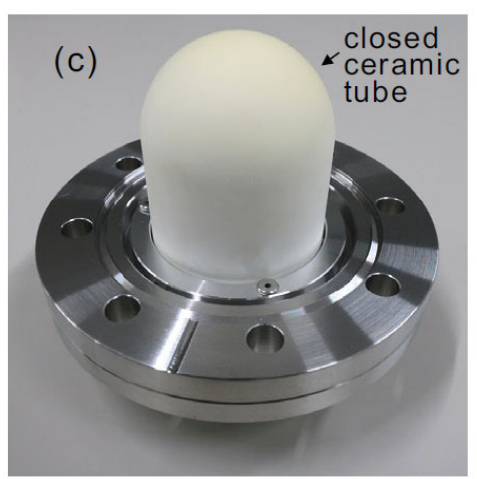




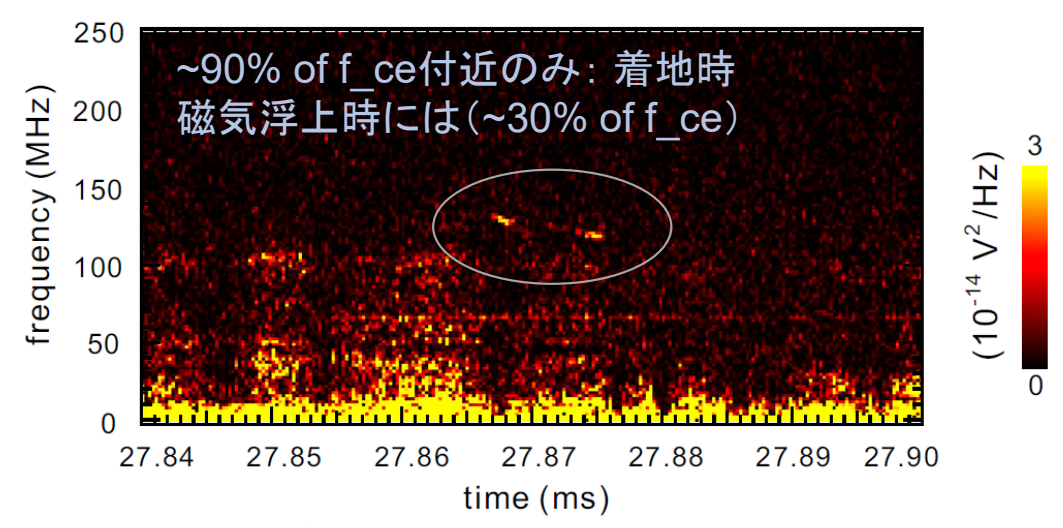
#### 磁気プローブ(+ポッケルス電場センサ)による揺動計測







同軸構造による静電シールドを持つ磁気プローブの構造と、セラミック保護管内部に配置したプローブの外観.



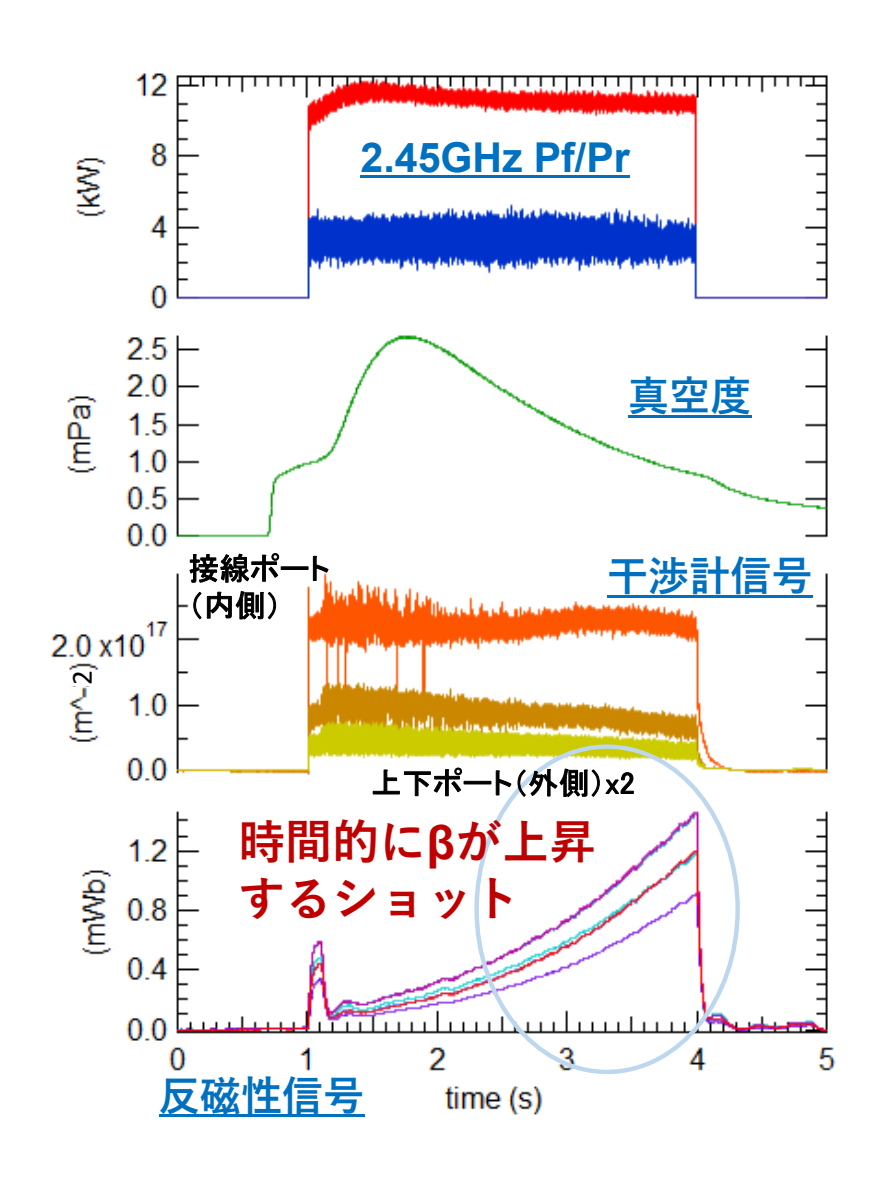
電気光学センサを利用した磁場計測: 通常のコーラスより高い130MHz付近に揺動

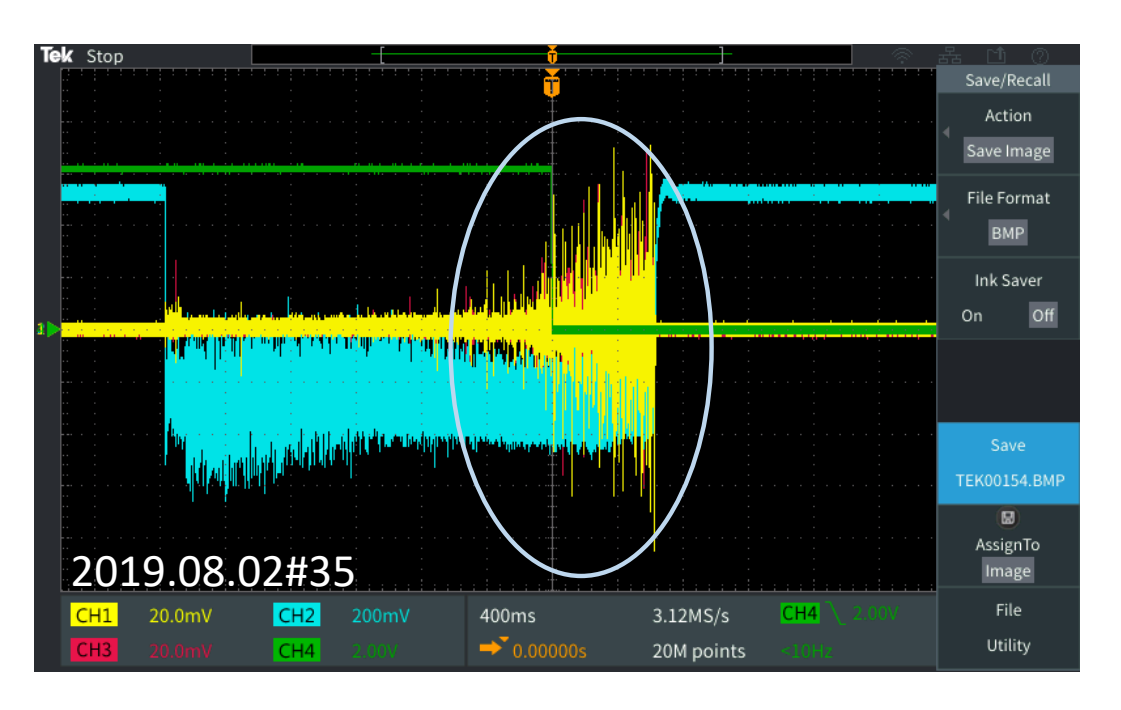


300MHz程度までの揺動をフラットな特性で計測可能、電場と磁場を分離

#### 電子サイクロトロン周波数帯域の揺動の間欠的な自発励起

ECHにより高温電子成分が顕著になりプラズマ圧力(反磁性信号)が増大すると、~数十MHz帯域の磁場揺動が観測される



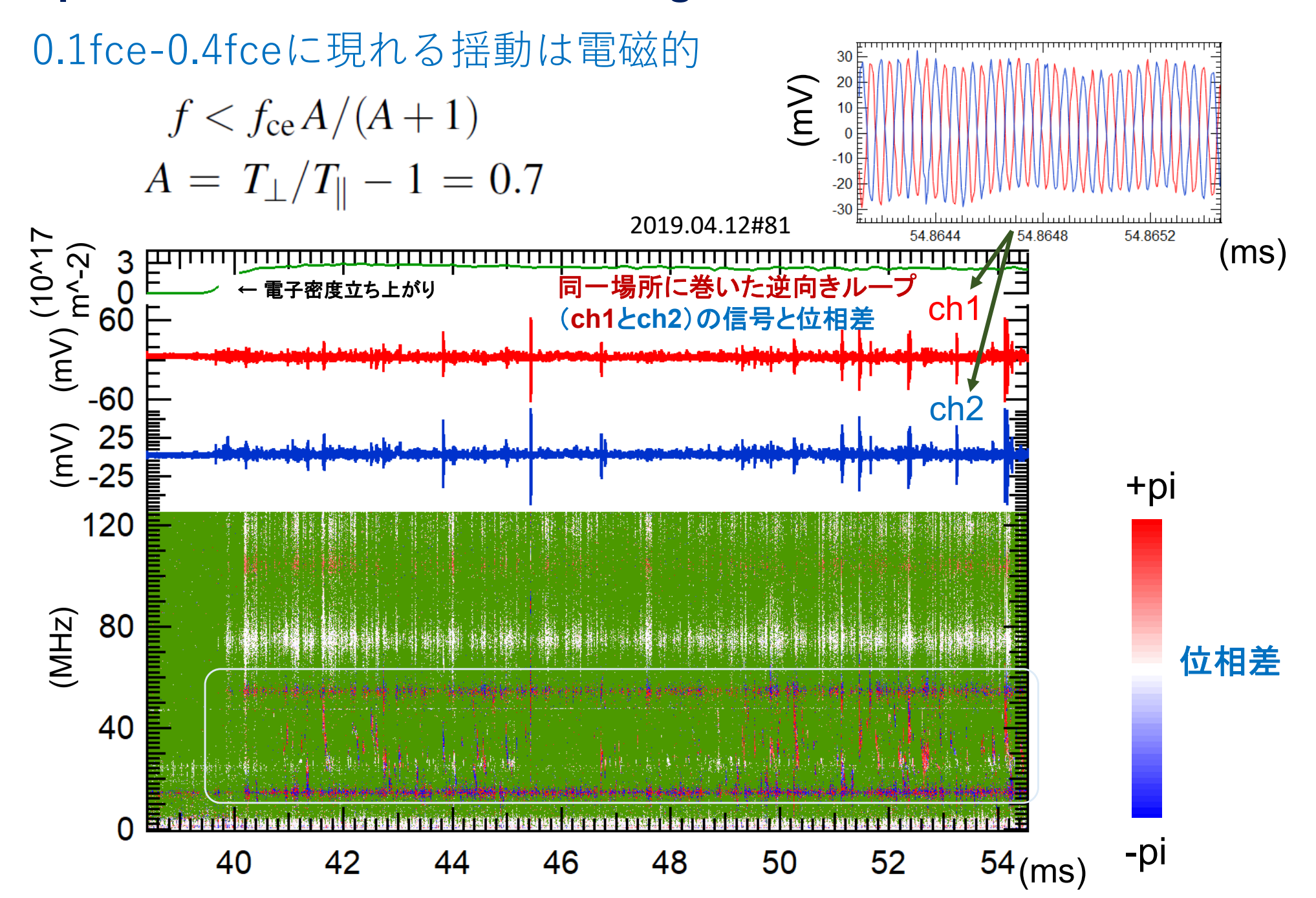


ch1: 磁気プローブ1, ch2: 干渉計, ch3: 磁気プローブ2

- 3秒間のマイクロ波入射で、時間的に中性粒子 密度が低下しプラズマ圧力が立ち上がるショット
- プラズマ圧力は、温度非等方性を持つ高温電子によって支えられている

#### 揺動の電磁波モードと静電モードの分離計測

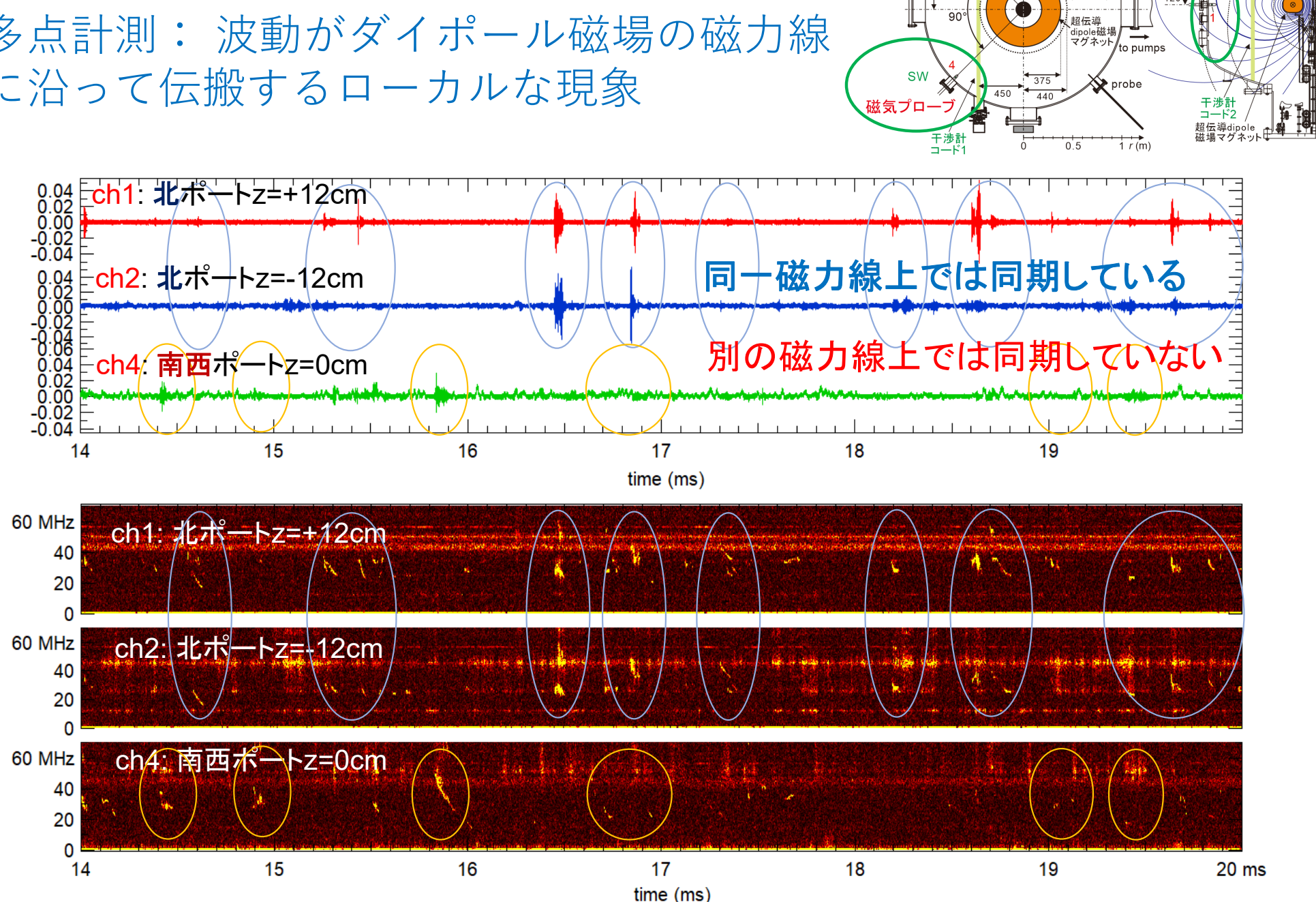
#### Separated detection of electromagnetic and electrostatic modes



揺動の伝搬方向と揺動現象の局所性

Propagation direction "localization" property.

多点計測: 波動がダイポール磁場の磁力線 に沿って伝搬するローカルな現象



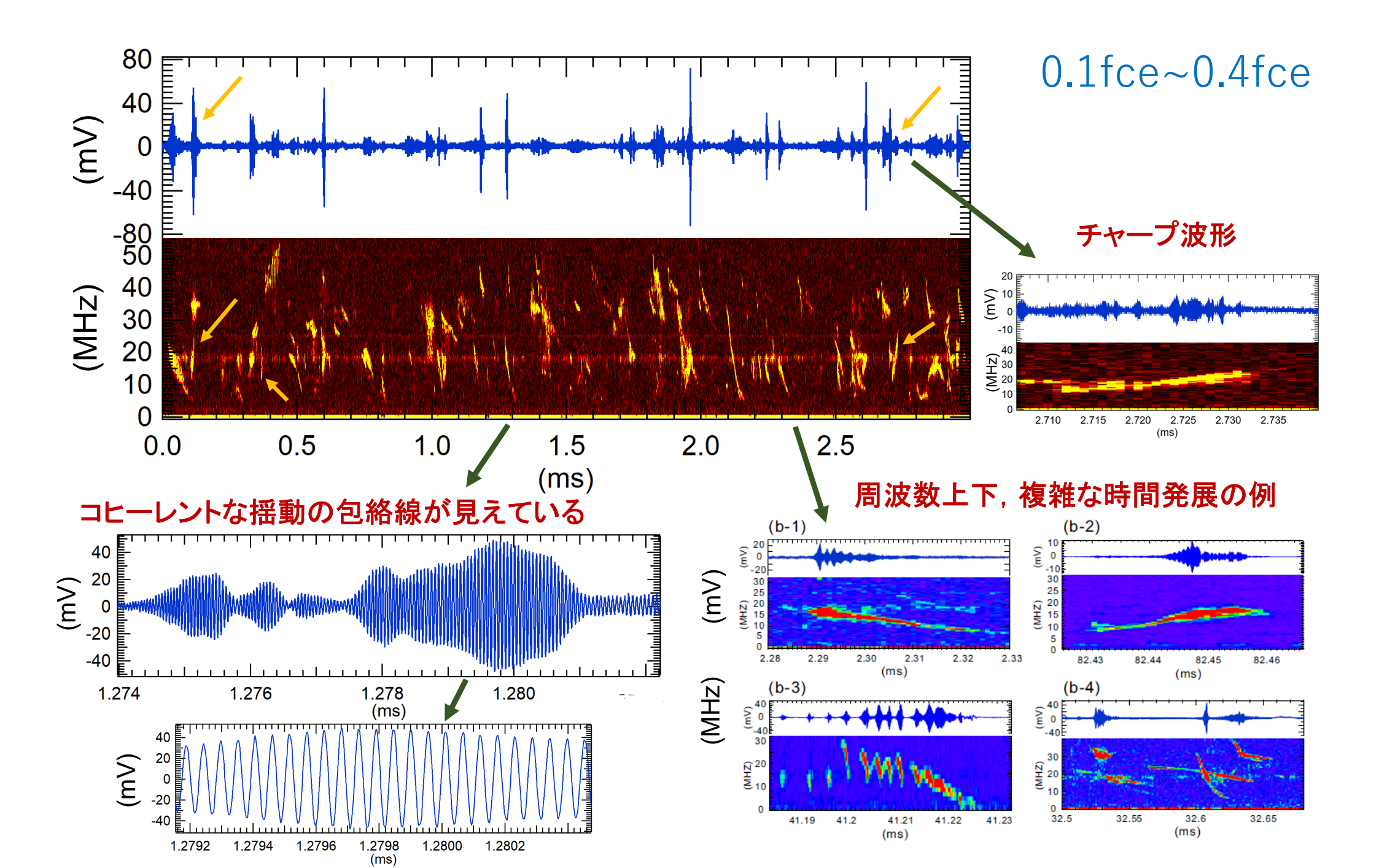
11

875G

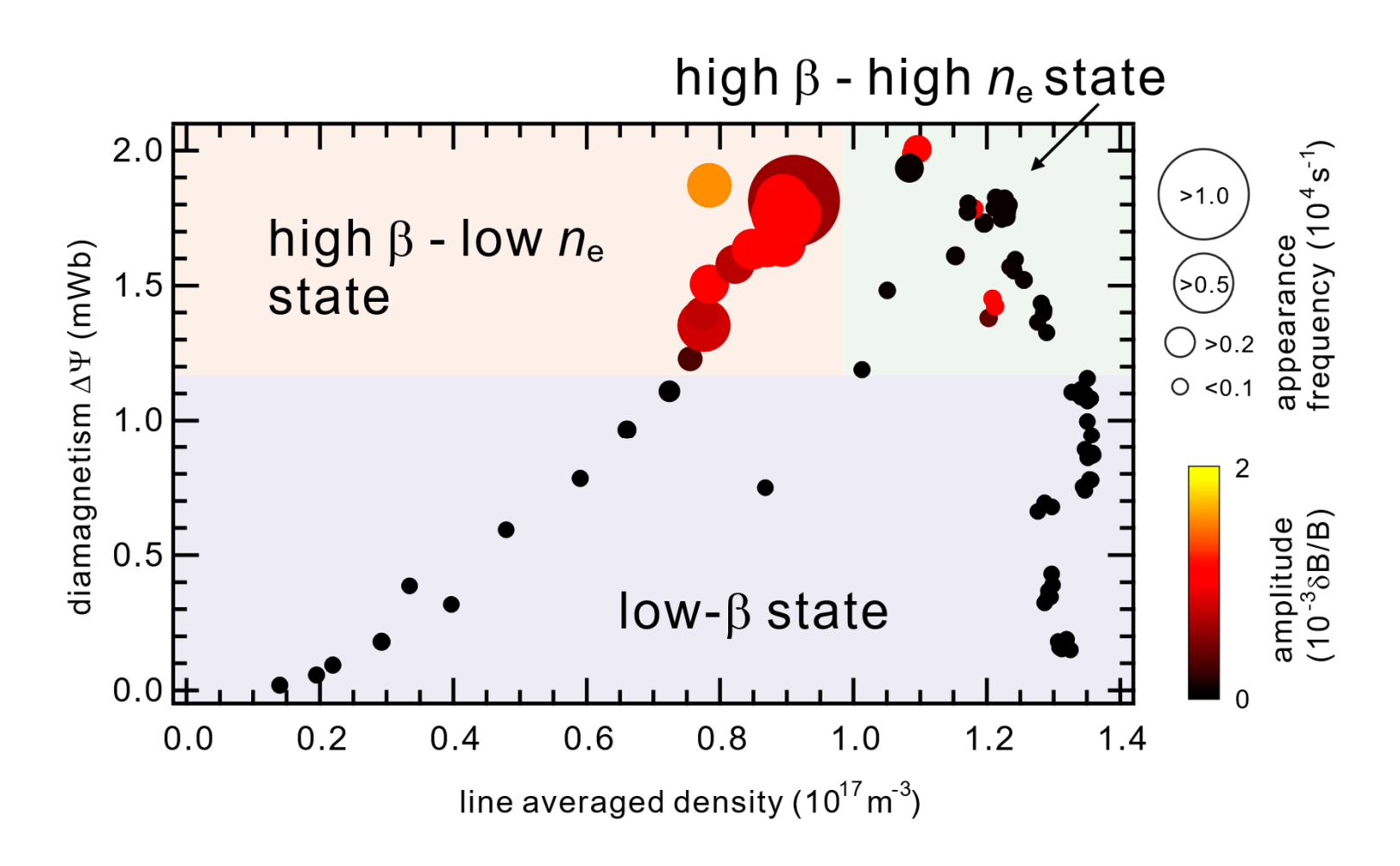
2930G

(b) 50G 100G

#### フォーリング/ライジングトーンを示すコヒーレントな揺動である



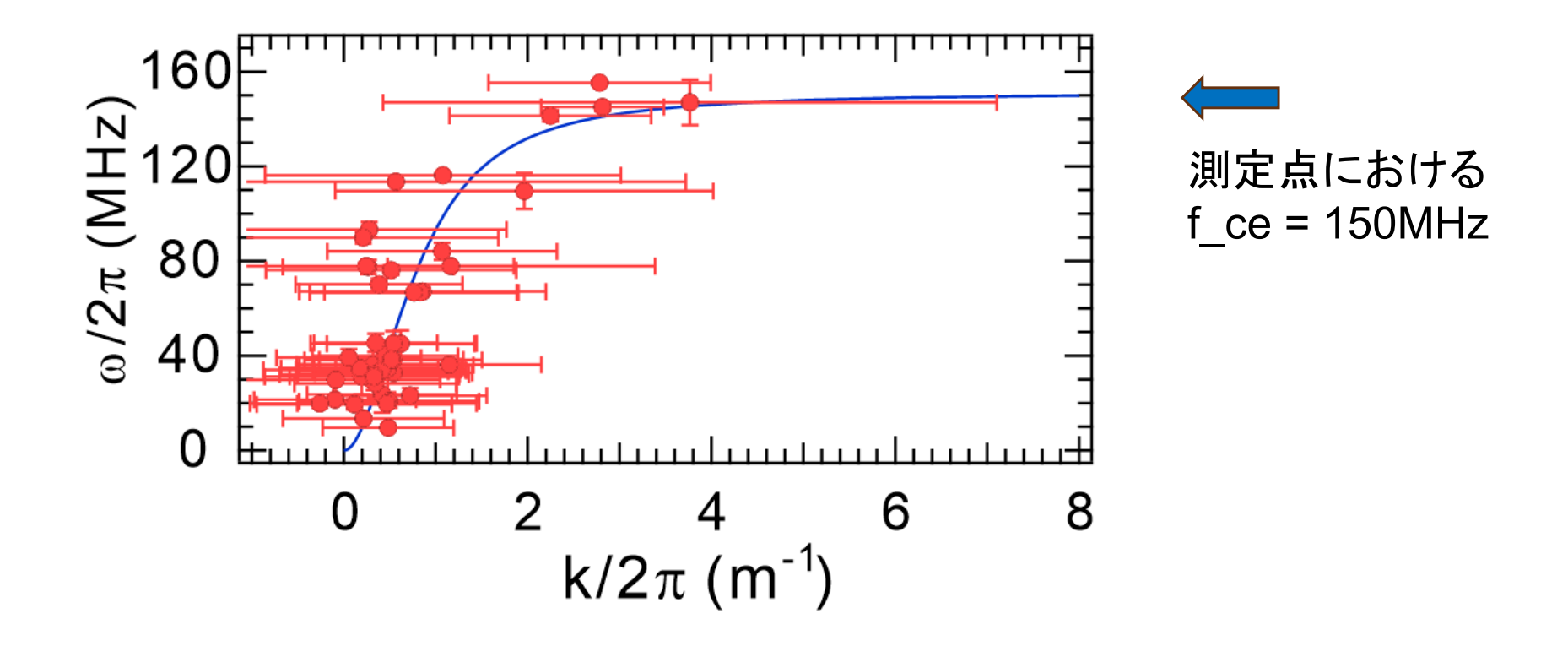
#### 発生頻度はプラズマ圧力増大により増加し(しきい値的なβの存在) 低温電子成分の増加により安定化が見られる



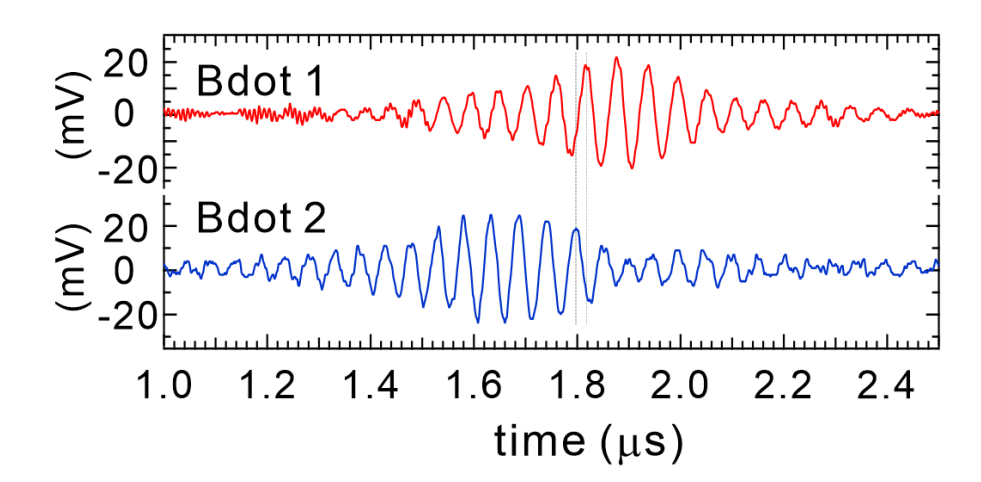
線平均電子密度とプラズマ圧力に対する依存性:高温電子成分による揺動励起と低温電子成分の増大による安定化

#### 揺動の分散関係と伝搬方向(磁力線方向の伝搬)

密度分布に応じて計測間隔を最適化して得られた分散関係

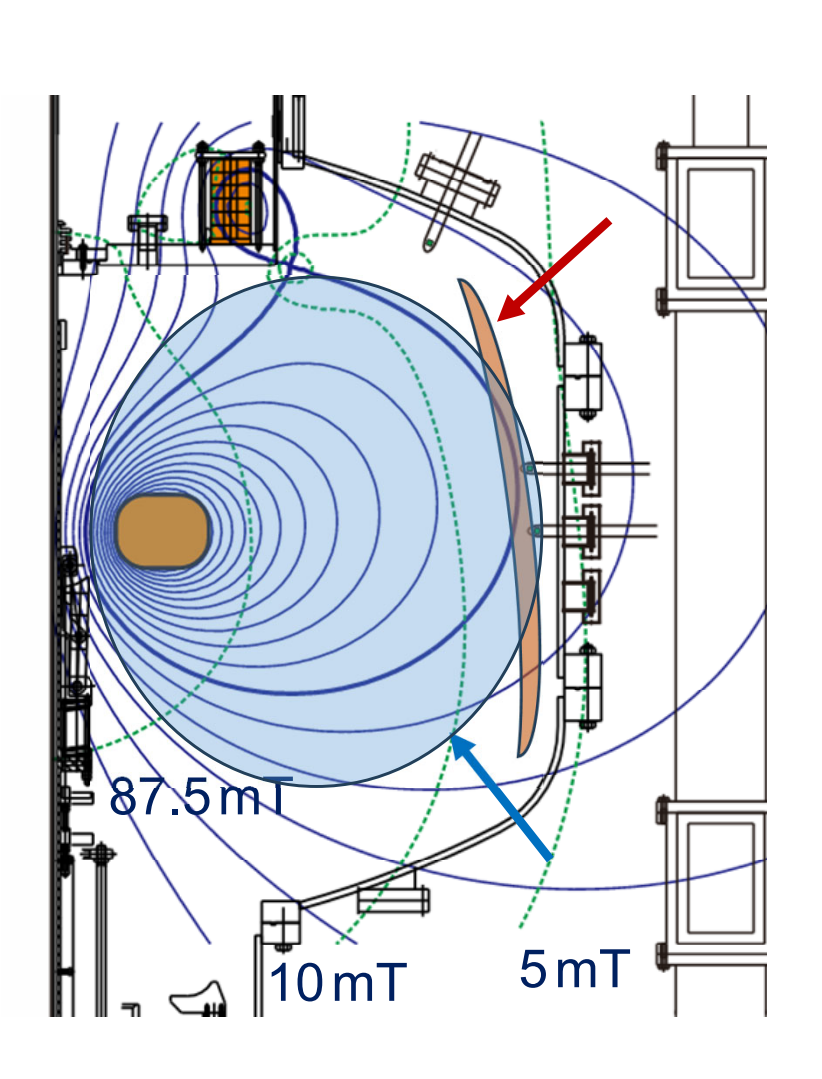


- 磁気プローブを配置した周辺部のB = 5.4mT, n\_e = 6.3 × 10<sup>14</sup>m<sup>-3</sup>に対するR波の分散関係(上図の青)と分散関係の測定結果(赤)は矛盾しない
- 磁力線方向に沿った伝搬が主となる



#### 出現する周波数から考えられるコーラス放射の発生領域

- 観測される周波数の上限が、計測点の磁場強度に対するf ceとほぼ一致
- ◆一方, 揺動計測を行った周辺部の磁力線は強磁場領域までつながっている



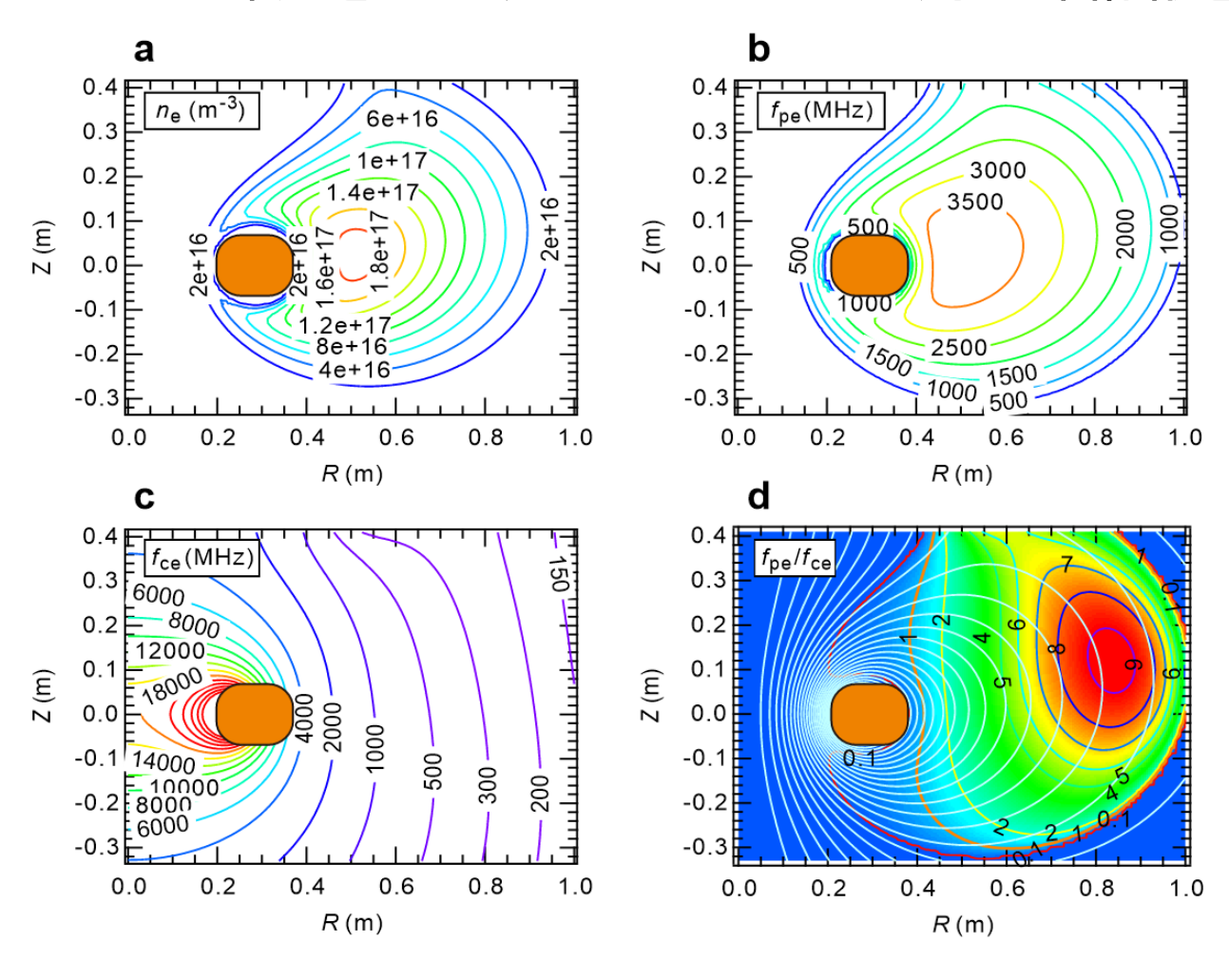
(コーラス放射は~90% of f\_ce 程度まで出現)

- 考えられる状況として...
- ① コーラスの発生領域は周辺部に局在する
- ② 発生自体は広い範囲で起こるが、計測点までの途中に伝搬不可能な領域がある (f\_p/f\_c < 1の領域では伝搬しない)

RT-1の高温電子は広い範囲に分布しており、 温度非等方性によるホイッスラーの不安定性 (コーラス放射の種)の発生場所は自明でない

#### 高ベータ時の密度分布の再構成と伝搬可能領域

主にコア部分を計測する干渉計に加え周辺部情報を追加した密度再構成

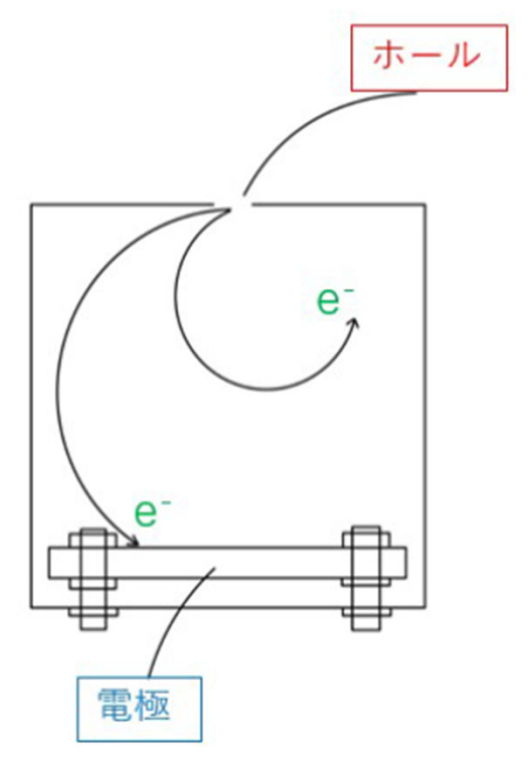


RT-1のプラズマでは 磁気圏と同様に広い範囲 でf\_p/f\_c > 1であり ホイッスラーは伝搬可能

可能な解釈として考えた2つの可能性のうち、

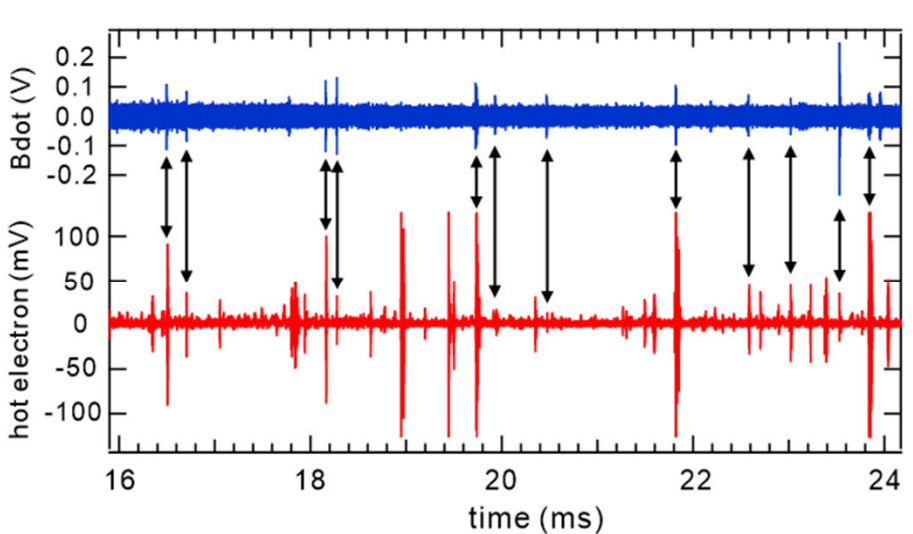
① RT-1ダイポールのコーラス放射は、弱磁場の周辺部に局在して発生するを支持する結果であり、強磁場領域ではホイッスラーは不安定化しない

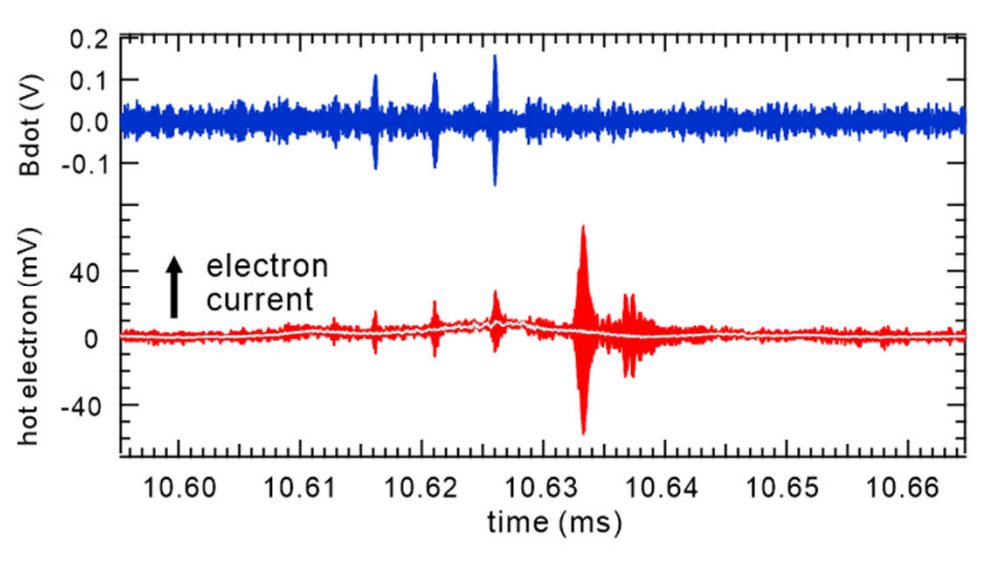
#### コーラス放射と損失高エネルギー電子の同時計測





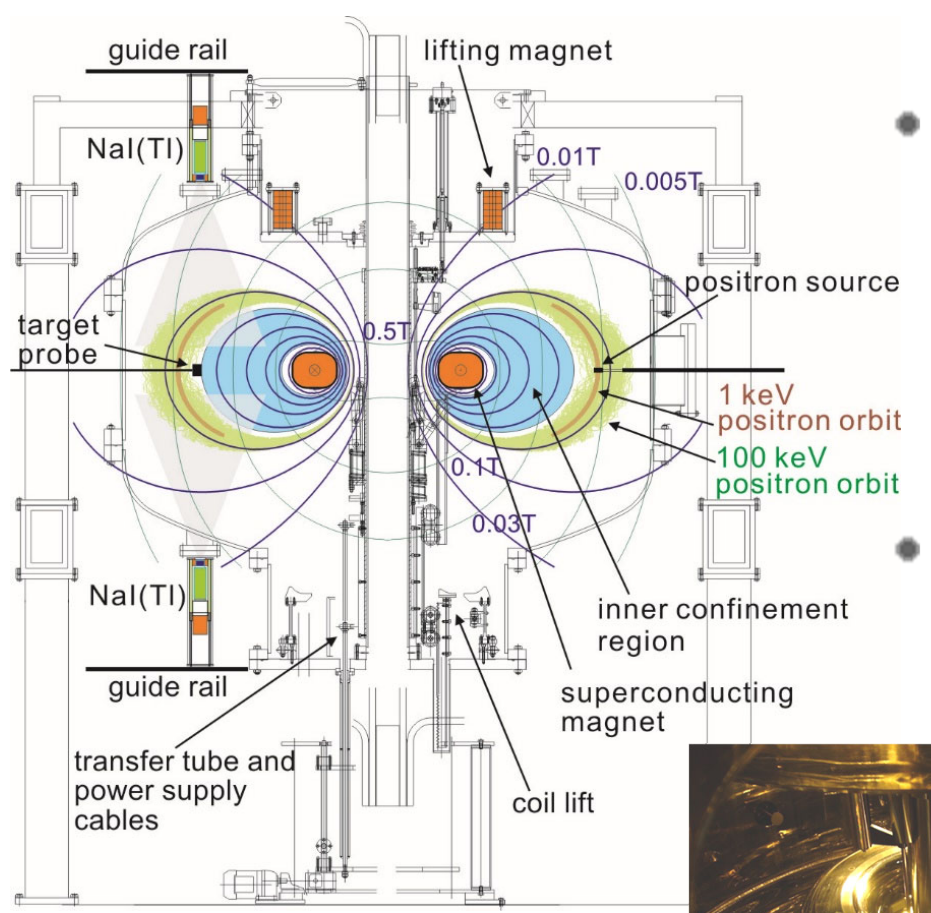
およそ3keV以上の電子 を選択的に検出可能な 簡易的なプローブ (Faraday cup)を導入





間欠的な磁場揺動イベントの発生と同期した損失電子電流を検出

 Positrons are injected from a Na-22 source located at the edge of the confinement region of RT1
 2016 Saitoh+, PRE



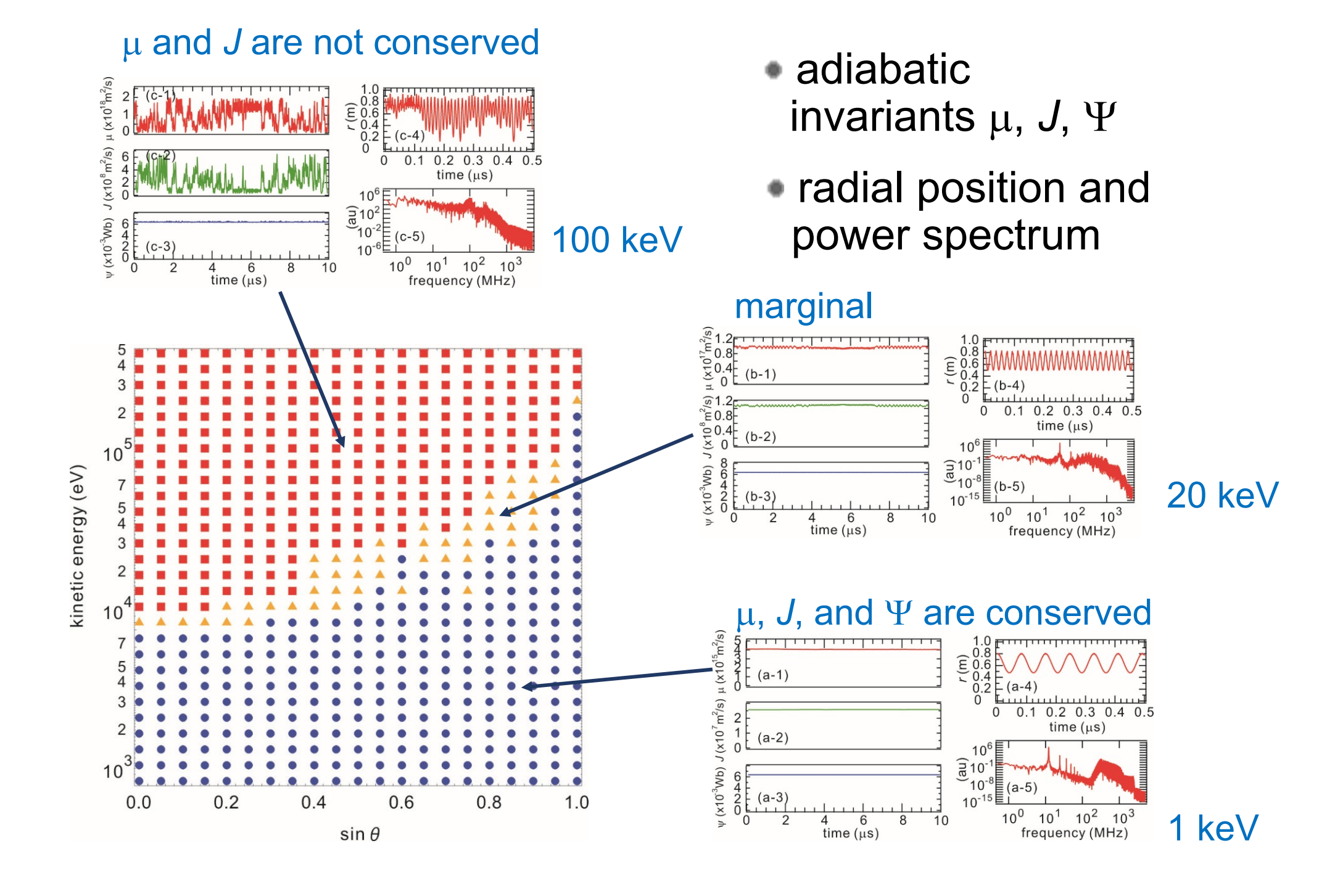
RT1 (Ring Trap 1), superconducting levitated dipole of Uni. Tokyo, Japan  In a dipole field generated by a ring current of 250kA (R=0.25m), orbit is calculated by numerically integrating

$$\frac{d}{dt}(\gamma m\mathbf{v}) = q(\mathbf{E} + \mathbf{v} \times \mathbf{B})$$

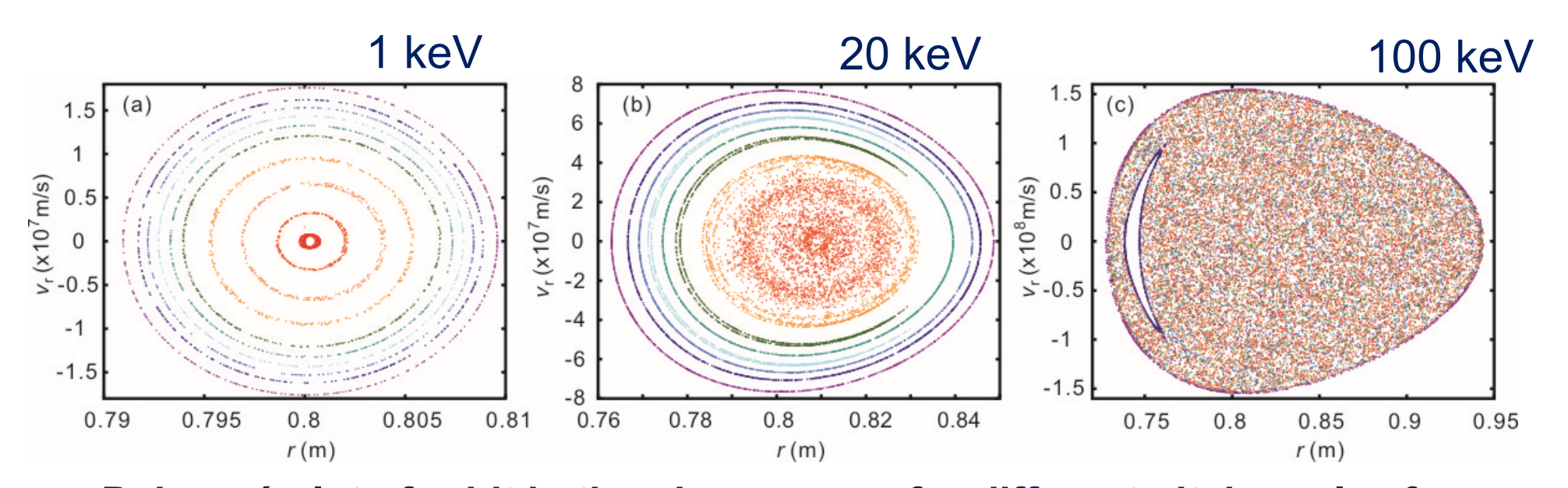
Relativistic adiabatic invariants:

$$\mu = \int \gamma v_{\perp} dl = \int \frac{\gamma^2 v_{\perp}^2}{B} dt$$
 $J = \int \gamma v_{\parallel} ds$ 
 $\Psi = \int \mathbf{B} \cdot d\mathbf{S}$ 

#### 高エネルギー電子(陽電子)のカオス軌道と断熱不変量



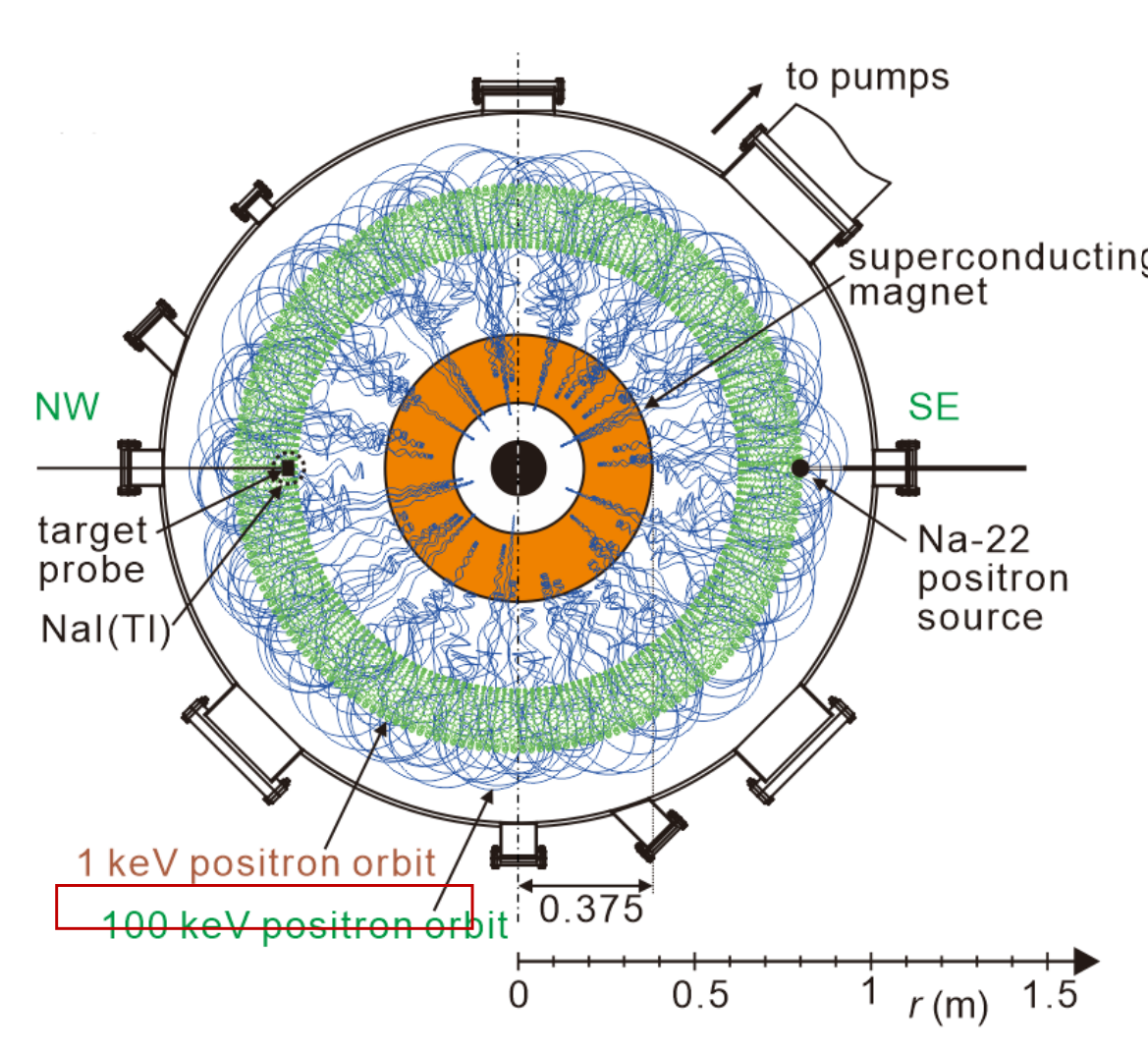
# $\mu$ とJが保存しない場合,保存量は2つ(エネルギーと $\Psi$ )<系の自由度となりカオス軌道が出現する



Poincaré plot of orbit in the phase space for different pitch angles for positrons of kinetic energy 1, 20, and 100 keV

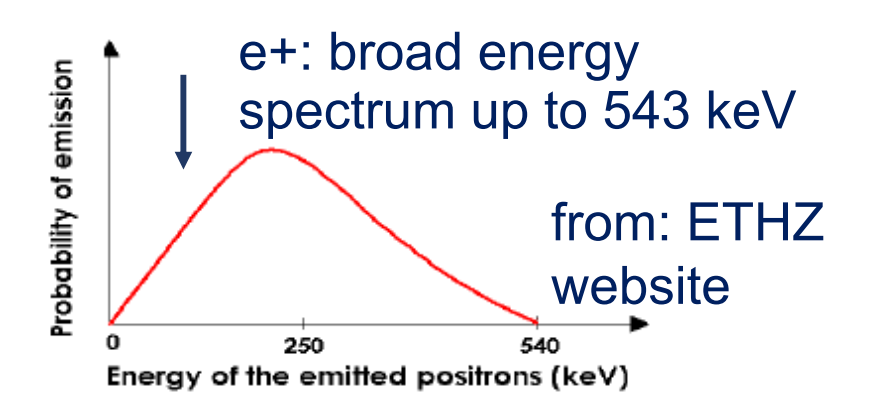
- Considerable ratio of positrons from Na-22 source exhibits chaos in the geometry of the RT1 levitated dipole
- Such particles may have long orbit (i.e., long trapping time) in RT1 before annihilation by recombination at the source

### 陽電子の運動エネルギーやピッチ角により, 周期的/カオス的に 見える軌道が出現する

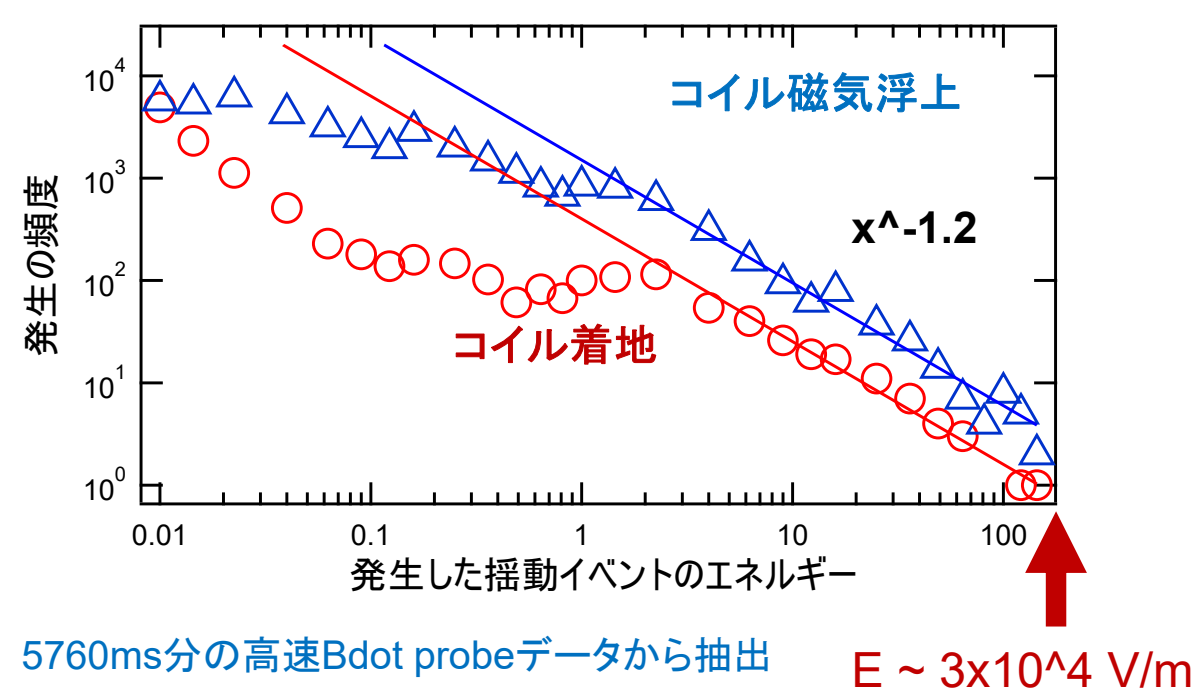


Top view of RT1, including typical orbits of positrons injected from Na-22 source

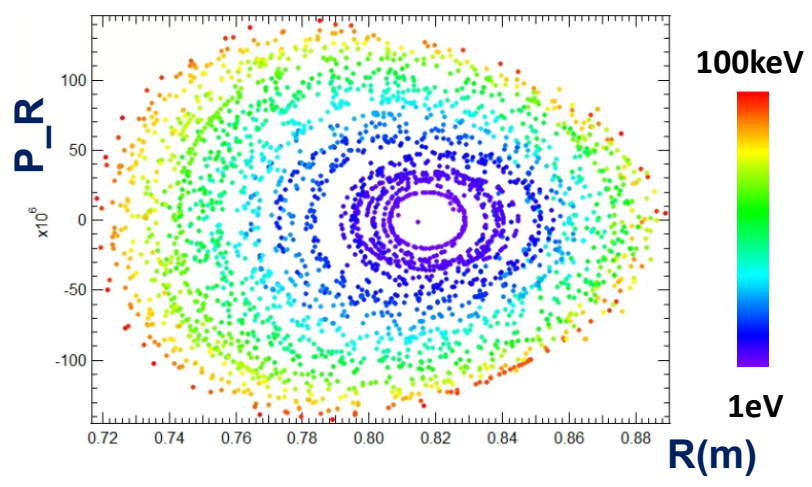
- Particle motion consists of gyro + bounce + toroidal drift
- superconducting Toroidal motion is realized by magnet the curvature and grad-B drift
  - Orbit properties are different according to particle energy
    - 1keV: periodic, return to Na-22 source after one circulation
    - 100keV: non-periodic motion



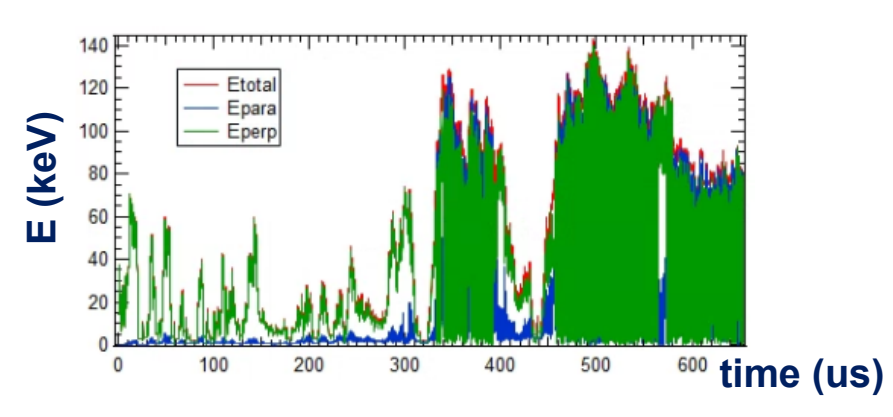
#### 揺動の発生頻度と大強度のR波中の電子の加速



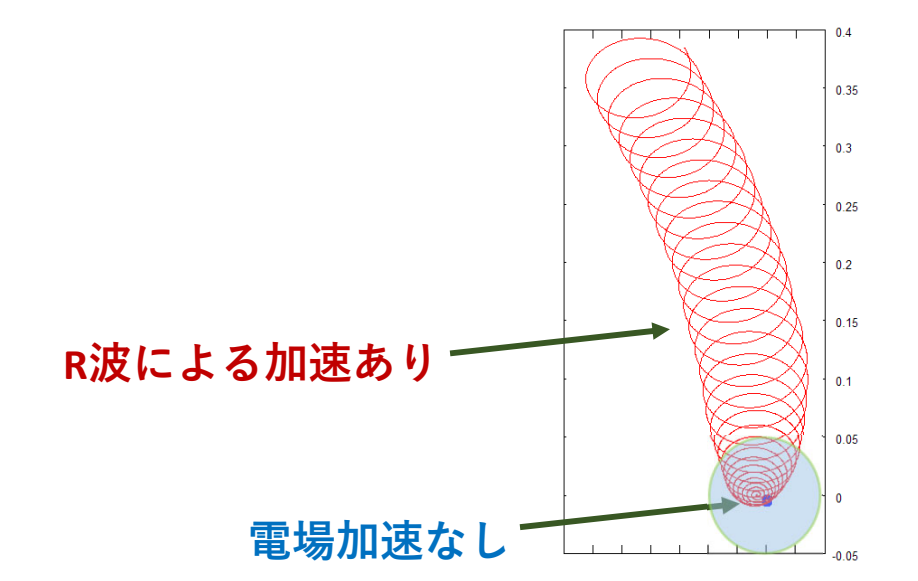
- ・ 発生頻度はべき乗分布に近い
- ・観測される最大強度の電場付近では、R波で加速された相対論的電子の軌道はカオス化し、 RT-1の磁場に捕獲されない



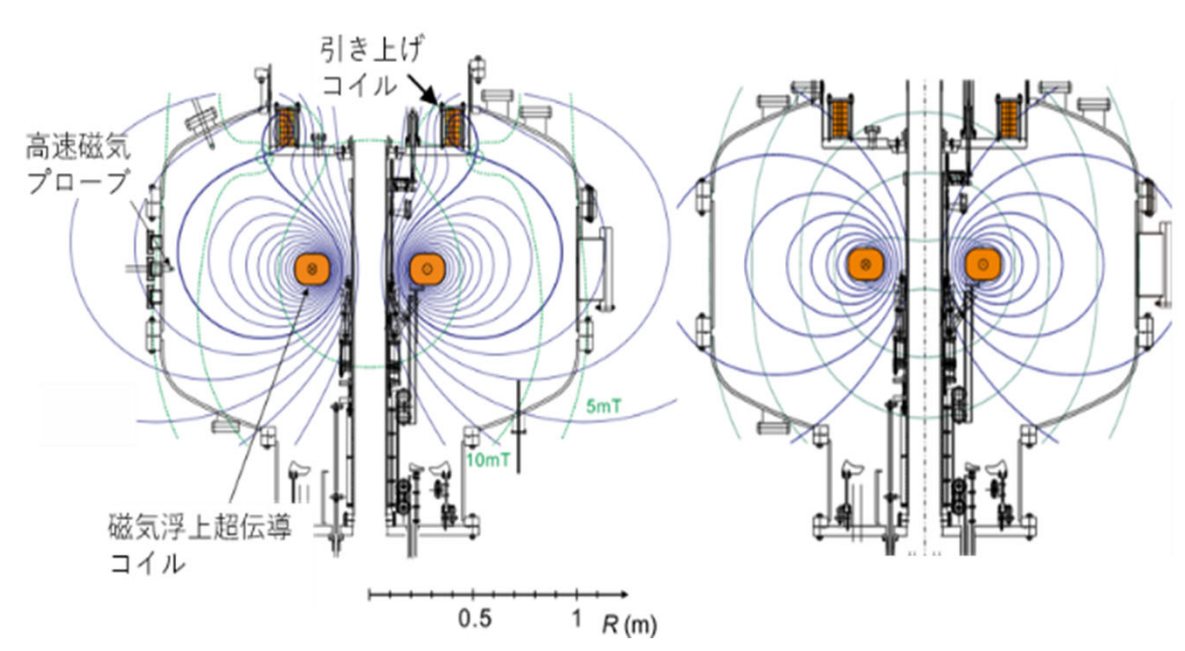
電子軌道のポアンカレプロット(最初の100us)



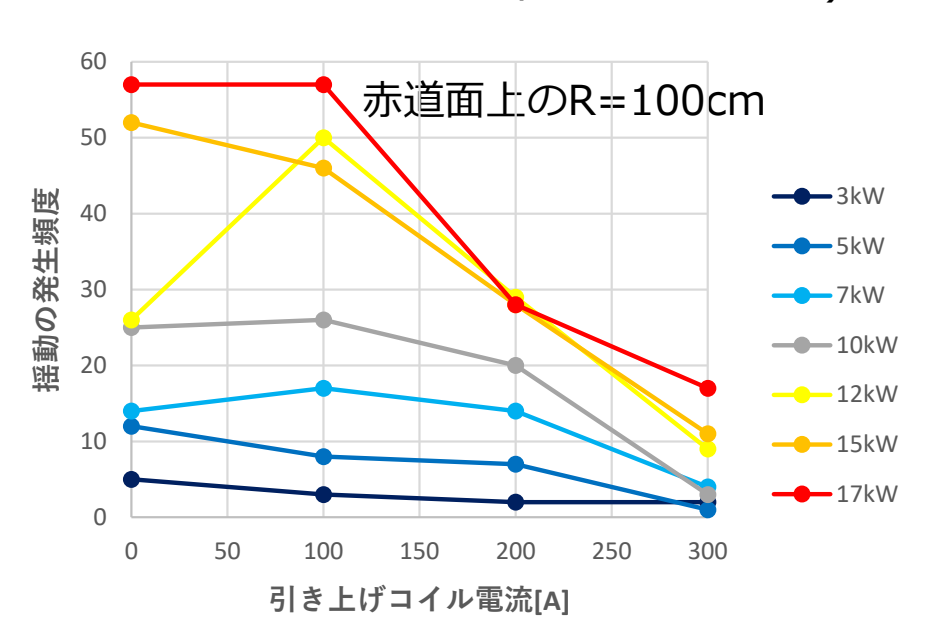
観測された磁場揺動に対応する2×10<sup>4</sup>V/m のR波を印加した場合のテスト粒子計算



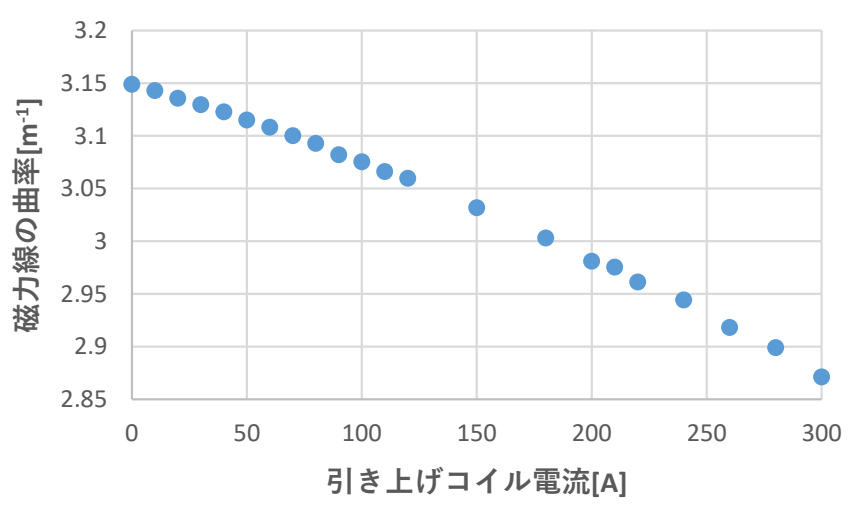
#### 磁力線の曲率を小さく(ミラー効果を大きく)した際の発生頻度



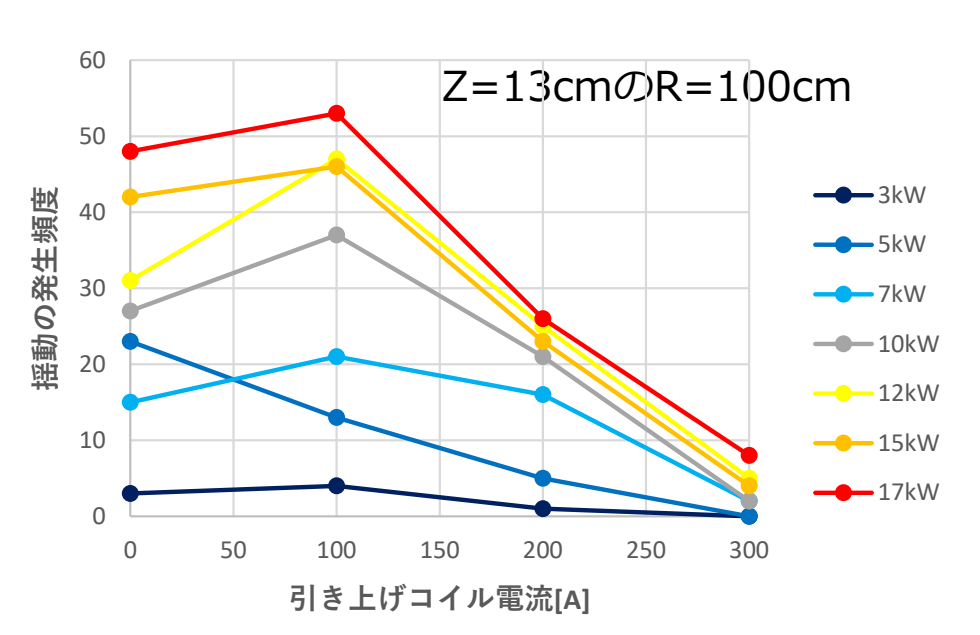
RT-1の引き上げコイルと磁力線の変化(左:引き上げコイル電流あり/右:電流なし)



青柳進之介



引き上げコイル電流に対する磁力 線の曲率の変化



各加熱電力での、引き上げコイル電流に対する揺動の発生頻度の変化

#### まとめと今後の課題

- 磁気浮上ダイポールRTによる実験研究の状況(先進核融合,電子・陽電子,ホイッスラー)と進行中の課題について説明した
- 揺動計測や密度分布の再構成によれば、ホイッスラー波が不安定化して コーラス放射に成長するのは弱磁場の周辺部と思われる
- コーラス放射と同期した高エネルギー電子の掃き出しらしき信号を観測した
- 軌道計算によれば、装置の周辺で10keVを上回る電子の軌道はカオス的となり、RT-1の磁場中で補足が不可能となる
- ホイッスラー波による加速で電子は短時間で10keV以上に達し、観測された 高エネルギー電子の信号は、コーラス放射による加速由来の可能性がある
- より長期的な課題として、不安定化が発生するための速度空間情報や 粒子の加速を検証することを目標としている